メダカゲノム情報によるステロール生合成遺伝子の解析 ~メダカ DHCR7 遺伝子全構造の推定~

Analysis of sterol biosynthesis genes from the genome information of Medaka *Oryzias latipes*The estimation of complete gene structure of *DHCR7*

西 野 秀 昭 甲 斐 愼

Hideaki NISHINO

Makoto KAI

福岡教育大学・理科教育講座(生物)

(平成25年9月30日受理)

Abstract

The possible complete gene structure of Medaka *Oryzias latipes DHCR7*, in which the enzyme sterol Δ7-reductase is encoded, was investigated through BLAST search by comparison of National BioResource Project, Medaka genome database, with the cDNA base sequences of *Homo sapiens* and *Danio rerio* in order to elucidate the mechanism of biological evolution of sterol biosynthesis genes. As the results, all possible exon structures, 1st exon to 7th exon consisting of 1419 bp open reading frame containing stop codon and the estimated 472 amino acid residues, of *DHCR7* of Medaka *Oryzias latipes* were extracted as the strong candidate in the Medaka third chromosome database. The estimated primary structures of the all exons except first exon were very similar between Medaka *Oryzias latipes*, *Danio rerio*, and *Homo sapiens*. The Medaka *DHCR7* also contains S-1 sequence, which is a unique motif in the primary structure of sterol Δ7-reductase.

要 約

ステロール生合成遺伝子が、生物進化の過程で創生されてきた機構を探究するため、ステロール生合成経路の酵素 sterol $\Delta 7$ -reductase をコードする遺伝子 DHCR7の構造を複数の生物で比較する目的で、メダカ $Oryzias\ latipes$ の DHCR7構造の全解明に取り組んだ。既に推定されている DHCR7の exon $2 \ge 3$ の候補配列で National BioResource Project Medaka Genome Database を対象に BLAST 検索を行った。その結果、第 3 染色体で、メダカ $Oryzias\ latipes$ の DHCR7 の第 1 から第 7 exon の候補全でを見出すことができた。開始コドンから終止コドンまでの読み枠の塩基対数は 1419 個、推定アミノ酸残基数は 472 個であった。7 個という exon 数は、ヒト $Homo\ sapiens\ やゼブラフィッシュ\ Danio\ rerio\ と同じであった。推定アミノ酸配列も第 <math>1$ exon 以外は三者で高度に類似し、sterol $\Delta 7$ -reductase のコンセンサス配列 S-1 も有していた。これらから、Medaka Genome Database 第 3 染色体から得られた塩基配列は、メダカ DHCR7遺伝子であると考えられた。

1. はじめに

ステロール生合成遺伝子は、真核生物にのみ見出され、前核単細胞から真核多細胞へと生物が進化する過程を考察する一つの有力な手段と考えられる¹¹。ステロール構造体によって、細胞膜はどのような変形にも耐えられるという意味での強靱性を増すとともに、このような細胞膜の柔軟性によって、細胞の大型化や貧食能の獲得へとつながったと推定されている²¹。

メダカ (Oryzias latipes) は、日本で独自に開 発された脊椎動物のモデル生物で、生物学や医学 のみならず, 環境科学, 水産学などでも広く利用 され, 英語名も Medaka と表記される ^{3) 4)}。 さら に、比較ゲノム生物学の進展に伴い、メダカとヒ ト (Homo sapiens) のゲノム遺伝子構造には多 くの共通性が見出されている⁴⁾。従って例えば, メダカの遺伝的変異体を解析することで、ヒト遺 伝病の原因を解明することも可能となることが考 えられる。メダカは胚発生に関わる 300 余の突然 変異体が知られ 4),同様にモデル生物であるゼブ ラフィッシュ (Danio rerio) など他の硬骨魚類 の突然変異体では見られないものが多く. 研究対 象としての貴重なコレクションとされている。ま たメダカは日本の自生種であり、野生集団の遺伝 子解析を行うことによって自然環境の成り立ち や、その保全に新しい視点を与える事も考えられ ている。

ステロール生合成経路の最終段階でステロイド 骨格7位二重結合を還元する酵素をコードして いる遺伝子 DHCR7は、高等動物の正常な形態 形成にも重要なはたらきを担うことが知られて いる³⁾。本研究では、メダカゲノムデータベース の情報や GenBank 情報を活用し、未だ一部しか 構造が知られていない 3) メダカ DHCR7遺伝子 の全構造の推定を行った。アメリカの国立衛生 研究所 National Institute of Health (NIH) によ り運営されている web サイト, National Center for Biotechnology Information (NCBI) 5) O GenBank という世界的な DNA データベース〔日 本の DNA Data Bank of Japan (DDBJ), 欧州の EBI/EMBL も相互にデータを共有している〕に はメダカ DHCR7の情報は未だ見られないが、日 本独自の database である National BioResource Project (NBRP) によるメダカゲノムプロジェク トでは、ニホンメダカ Oryzias latipes のゲノム解 析によって、約100万リード、726Mbpの情報が 既に塩基配列の決定がなされ、データベース化さ

れている 4 。メダカゲノムサイズは約 800Mbp と推定されているので、全ゲノムの $0.9 \times$ 分に相当する 4 。

一方でゼブラフィッシュは、脊椎動物の小型 魚類モデル生物として多くの genome database や mRNA 配列データが NCBI に登録されてい る。ヒト DHCR7遺伝子構造及びcDNA のデー タも NCBI に登録されているので、ここからゼブ ラフィッシュとヒトの DHCR7 遺伝子構造の比 較を行い、類似性が高い構造は、メダカゲノムの DHCR7でも同様に類似していると考えることが できる。このような方針で西山ら³⁾ は Medaka genome database を検索したが、exon2及び exon3 を含む genome 塩基配列までしか検出でき なかった。そこで本研究では、NBRPの Medaka genome databaseのうち、Ensembl NBRP サイ トを利用して染色体情報の方から、既に見出され ている exon2 及び exon3 の塩基配列を含む染色 体を見出すことによって、メダカの DHCR7全 構造を解析することとした。

さらに本研究は、平成20年9月改訂の中学校 学習指導要領・理科編に新たに導入された理科の 単元,「生物の変遷と進化」及び「遺伝の規則性 と遺伝子」6)の観察・実験を含む授業に利用でき る生物教材の開発も兼ねている。「生物の変遷と 進化」では、生徒達が小学校から馴染んでいる教 材であるメダカを使って、同じ働きを持つ遺伝子 であれば種類が違っても良く似た構造であること を通じて生物進化の理解に使える可能性がある。 「遺伝の規則性と遺伝子」単元では「内容の取り 扱い」において、「…。また、遺伝子に変化が起 きて形質が変化することがあることや遺伝子の本 体が DNA であることにも触れること。」とあり、 この単元の観察・実験で利用できる生物教材の開 発が待たれている。DHCR7遺伝子の変異の種類 によっては、ヒトにおいては単眼症や前脳の未発 達など形態形成異常などを引き起こす。生徒達に 馴染みがあるメダカでも, 受精卵の胚への初期 発生段階で単眼になる変異が NBRP の Medaka bioresource に見出されることが知られている 4)。 その親は原因遺伝子についてヘテロ接合体とさ れ、一つは正常な遺伝子を持つが、ヘテロ接合体 の親から4分の1の確率で生まれる劣性ホモ接合 体では単眼になり致死になるものと考えられてい る。その原因遺伝子については DHCR7 の変異 が疑われているが、DHCR7遺伝子の全構造が未 解明の為、未だ特定されていない。本研究は、メ ダカの DHCR7 全構造解明がメダカの単眼の発

生メカニズム解明に役立てるとともに、遺伝子の本体が DNA であることを理科授業の観察・実験を通じて理解できる生物教材開発をも目的にしている。

2. 研究方法

配列変換フリーソフト SegConv v0.81 を用い て, メダカ DHCR7 の exon2 と exon3 候補の 塩基配列 3) をアミノ酸配列へと置換した。そ の推定アミノ酸配列を用いて、NBRP Medaka Hd-rR genome database を対象に、アミノ酸 配列から塩基配列を検索するため、tblastn に よる検索³⁾を行った。NBRP Medaka内の Medaka Map をクリックし、Ensembl NBRP を 開いた。その Medaka をクリックし、Ensembl NBRP Medaka を開いた。その Search Ensembl NBRP Olyzias latipes に「DHCR7」と入力し、 Ensembl NBRP Medaka Unisearch を 開いた。 ENSORL00000019316 を ク リ ッ ク し, Ensembl NBRP Medaka TransView を 開 き, Genomic sequence をクリックした。得られた塩基配列の 中から exon2 と exon3 に加えて他の exon 候補 を, GU と AG に挟まれた intron 及び, ヒトとゼ ブラフィッシュの遺伝子構造に注意しながら見出 した。ヒト Homo sapiens DHCR7のcDNA情 報は、accession numberが NM_001360 という データに、また、Danio rerioc DHCR7のcDNA 情報は、accession number NM_201330 に登録 されているものを用いた。cDNA (mRNA) と genome DNA の塩基配列を比較し,GU-AG 則 ³⁾ を用いて、exon 構造を塩基配列レベルで見出し た。ヒト genome における DHCR7 の塩基配列 は, accession number が AF110060 の遺伝子情 報を用いた。Danio rerio の ゲノム遺伝子情報 は、NC_007113のものを用いた。遺伝子構造は いずれも、exon は7個で、読み枠はヒトが475 個, ゼブラフィッシュが 479 個のアミノ酸残基か らなっていた。またアミノ酸配列は高度に一致し, exonl の C 末端側アミノ酸配列 QWGRAW は完 全に一致していた(ただし最後のトリプトファン W のコドン TGG は最初の TG のみ exon1 に存在 し、最後のGはexon2の最初の塩基だった)。し かし exon1 はそれ以外はアミノ酸残基数も含め、 ほとんど類似性が見いだされなかった。

3. 結果と考察

NBRP Medaka 内の Medaka Map から, Ensembl NBRPへ飛び、その Medaka から、Ensembl NBRP Medaka を開いた。その Search Ensembl NBRP Olyzias latipes に「DHCR7」と入力し、Ensembl NBRP Medaka Unisearch を開いた。得られた情報 ENSORL00000019316をクリックし、Ensembl NBRP Medaka TransView を開き, Genomic sequence をクリックした。得られた塩基配列の中から exon2と exon3に加えて他の exon 候補を, GU と AG に挟まれた intron とヒトとゼブラフィッ シュの遺伝子構造に注意しながら見出した(図 1)。 その結果, 第3染色体の34524922から 34533555 までに含まれる exon-intron 構造を見出 した。既に genome database 上で exon 候補が 8 カ所ライトアップされていた (図1の黒に白抜き 文字)。しかし最初の exon に開始コドンがなく, 2番目の exon 中の ATG を開始コドンとすると, ヒトやゼブラフィッシュの exon1 の C 末端側に 見出されている共通アミノ酸配列 QWGRAW が メダカでも見出された(図2)。このことから, 本来の exon1 はこの開始コドンから始まり、上 記共通配列 QWGRW の C 末端アミノ酸残基 W (トリプトファン) のコドン TGG の TG までが exonl に含まれることが推定された。このよう に exonl の C 末端アミノ酸残基 W のコドンが 次の exon との間で分断されていることは、ヒト やゼブラフィッシュでも見出される(図3)。既 に西山ら³⁾ によって見出されている exon2 及び exon3とともに、合計7つの exon を見出してア ミノ酸配列を推定した(表1)。その結果, ORF (読み枠) は終止コドンを含め 1419bp, コードさ れているアミノ酸残基は472個と推定された。

推定されたメダカ DHCR7 候補遺伝子を確認するため、ヒト及びゼブラフィッシュの DHCR7 と一次構造の比較を行った(図 4)。その結果、exonl のアミノ末端側のアミノ酸配列は比較したメダカ・ヒト・ゼブラフィッシュでほとんど似ていなかったが、それ以外の配列はほとんど一致するか類似の性質を示すアミノ酸残基が見いだされた。全体では、同じ位置に同じアミノ酸残基なのが 67.2%で、類似の性質を示すアミノ酸残基まで含めると 77.1%と高度な類似性が見出された。この類似性の程度は、遺伝子創成の起源を探る手立てとして使えるかもしれない。

また、ヒトやゼブラフィッシュの DHCR7 同様、そのコードしている sterol $\Delta 7$ -reductase のコン

センサス配列である S-1 配列 7 も存在していた (図 4)。今後,ヒトなどで Lamin B receptor や sterol C14-reductase など,機能が異なるにも関わらず DHCR7 と S-1 配列以外で高度に一次構造が類似していることが知られているタンパク質や塩基配列をメダカで比較し,メダカ DHCR7 を含めた共通祖先遺伝子から S-1 配列の挿入による DHCR7 遺伝子の起源に関わる議論の材料としていかなければならない。

また、本研究で見出すことができたメダカ Oryzias latipes DHCR7 の各 exon が実際に存在しているのか、また exon1 の推定が正しいのか、メダカからゲノム DNA を抽出し、推定した exon の最初と最後、また、前後の intron と推定される部分からプライマーをデザイン及び合成して、PCR (Polymerase Chain Reaction) によって増幅できるかどうか確認することも、酵母細胞などでの機能発現解析とともに今後の課題である。

これらの成果を受けて、メダカの生物教材化の課題も見出される。すなわち中学校理科「生物の変遷と進化」、「遺伝の規則性と遺伝子」単元での観察・実験向けに、メダカをより利用可能な生物教材へと開発することが期待される。メダカは、NBRPのBioresourceを活用し、変異 DHCR7遺伝子をヘテロ接合体で持つ親メダカの交配によって4個に1個の確率で得られる劣性ホモ接合体での単眼症を、胚発生段階で、中学校にも配備されている生物顕微鏡などで検出する手法の開発、中学校の理科室でもできる PCR の手法を開発し、これによって単眼症の胚から変異部位を検出する方法、外部発注を含め、塩基配列を簡易に決定する手続きの具体化や手法などが考えられ、これらの具体化・実現化が待たれる。

4. 参考文献

- 1) 西野秀昭・牧尾友美:生物界ステロール生合成遺伝子の分子進化に関する考察,福岡教育大学紀要,第58号第3分冊,75-88,平成21(2009)年2月
- 2) 田川邦夫:からだの生化学,初版第1刷, 108-110 &113-114,1993年4月30日,㈱宝酒 造
- 3) 西山智子・清水誠之・西野秀昭:メダカゲノム情報によるステロール生合成遺伝子の解析 〜メダカ DHCR7の遺伝子構造〜,福岡教育 大学紀要,第61号,第3分冊,47-59,2012

- 4) ナショナル Bioresource プロジェクト (NBRP) 情報公開サイト (http://www. nbrp.jp/index.jsp), メダカデータベース (http://www.shigen.nig.ac.jp/medaka/) Medaka Genome Database, http://mbase.bioweb.ne.jp/~dclust/medaka_ top.html (2013年9月25日最終アクセス)
- 5) National Center for Biotechnology Information (NCBI) HP, http://www.ncbi.nlm.nih.gov/(2013 年 9 月 25 日最終アクセス)
- 6) 文部科学省:中学校学習指導要領解説・理科編,77-78及び85,平成20年9月,大日本図書
- Nishino, H.,&Ishibashi,T.:Mammalian sterol Δ7-reductase: cDNA cloning and proposition as a potential sterol-sensing membrane protein, *Biomedical Res.*, 20(5) 305-308, 1999

本研究は、科学研究費助成事業(学術研究助成基金助成金)(基盤研究(C)課題番号 24501104)の交付を受けて行った成果である。

メダカゲノム情報によるステロール生合成遺伝子の解析 〜メダカ DHCR7遺伝子全構造の推定〜

THIS STYLE: Location of ENSORLG00000015429 exons THIS STYLE: Location of Ensembl exons >chromosome:MEDAKA1:3:34524922:34533555:-1 ${\tt TTTGTCATCCAATCTTGCTCGCATCAAGCGCTTTGCGAGTTTGTCAGGCGCTTTGTGGGACAAACCAATCAGAGGCTGAGAATCCAGCACTGGCCC}$ $\tt GCCTGTGAATGAATCCATTGGTTGAAATTATCCAACTAATGGTCTTATGGGCGGGGCCTATCTCCCTTAGCGGTTACAAAATAAGAGGCCCTT$ $\tt TTTCTGCCGTTCCACAGCGGTTGAAGAGCCTCCAGC{\color{blue} TCCGGCTAAACTCACAGCTGCAGCGC{\color{blue} GT}}{\color{blue} GAGTCCGTTTTTCACGACCATGCAAGTCT}$ GAGTCTGCGCACTACGTATGATGTCGTTAAAAATCCTGTTTTTAATGTAACTTTGCTGTTATTTTAACGCTCAAATTGTTAACTTGGGGCAAAA AAAGGAAGAAAAACGCATTTCCGTCTTGAAAGATGATAAGATCGAACAGATTTGTTTCAAAGAAACCCTCGATGTTCGTCGGGGTTACATAATAACGGTGTCCTTCCCTCTGTTACATATTCTAAATGTTCACGCAACATTGACCTTAAAAAAGGCTAATTTTTTGCCAAATAAAACAGCATTTTTAGCTAATAAAGGAGTTTTACTGTGAGGTCAGGAAGCTGCTGTAACACCAACGTTGACTGGTTTACATTGGCTGAGGTCAGCCCTATTTTGCCCTTTTCCCCCCTGAAAACATACACCTAAATACCAGCAATTATCCTAAGATGTTCATCAAATTATTGATGCTTAATTTTCATAATAATTCTCGAATAC ACTGCTCCACAGTTCATATCATCTGTCTGATAAGATTATTCTGGTTTCTTCTTCTCAG<mark>GTTTGCTATCTGCGGTTACCATGGAGACCACTAGG</mark> $\tt CACGTTCAGTGCCACAATGATGTAAACAGGTTTCCATTCAAGATGCTGGTGTAGCGGTCAGCCAGAAGGCCCTGGTTCAAATCCCTGTGACTTT$ ACACTAGGGCTGCACGATATGAGGAAATTTCACAATTGGCGATATTAGTGAACAATATTGTGATGACGATATAACTTGCGAAATATGAACAAAT AGCAAAACCAAAAAAAACCTTGGTTGTCCATTTCACTGCAACAGTTTAATTTAAATTATCCTTAAATTATCCTCTAAATCAGTGGTCTCCAACCTTTTTGTCACCGCAGACCGGTACAACGCAAGACATGTTTACCGTGGACCGGGGGTGGTATTTTCTCTTTAGTAATAATAATAACAATAATAATAATAATAAT GAACCTAAATCCACCGTGTAATCATGTGCAACTTTATTAGCGGTGTCCTCGTAACGTCACCAACAACAACAACATCACATGAGCAACATCTTT ${\tt TCTACCCAACCCAATGCGACACTCTGGTTGCTATGGTAAGTGTGACGGATGTAACAGAGAAATCCGGTCACTTTTCAAAAGAAAACCTTTT$ $\tt TTGGGGACCACTGCTCTAAATGACCCTCGTCTACATGGGAGGAAAACATCATAAATCGTGTTGGCGTCCATCTGATTACCCAAATGCATAAAGA$ AATTATGATTCTGCCGATTTTAGCCAAAATCCCAAAAATCTGTGTCGTTTTCTGGGACATAGTTTCTGCAGAGCGACAGAATTTCATTGGAAAT TTGGTCTTAAATAATGTGGTATTTTCTTGAACCTTTAACATTTTACAGAGAGATGTTATTTAAATGAATCCTTTACATGATTTCTATGTGATGT $\overline{ ext{AG}}$ GGAGGTGGACTGGTTCTCTCATCAGCGTGGTGGCTCTCCTCATCTTTGCTCCCTTCATCGTCTTTTACTTCGTGATGGCCTGTGACCAGT CAGTGCTCCGTCAGCGAGCCTTTGCTGCAGCTTTATTACGGGGACGTGACGCTTCTCTCCATCTGGGCCCGGGCCCCCTCCTTCTCCTGGTC GGCGGCTAAGATATACGCCGTTTGGGTGGGCTTCCAG<mark>GT</mark>GAGGCGTGAGGGACGGATGGGCGCTGTTGCAGGTTGCATATTTTAGGGGTTTTCA CGTCTGTTTGCTCGTCC<u>AG</u>GTCTTCCTCTACCTGTGTGTCCCTGATGTCACCCACAAGTTTATTCCAGGGTATGTTGGGGG<u>G</u>GTGCAGGATGG <mark>AGCACGAACTCCTGCAC</mark>GTAACATCTGTTAATGCCGTTTTGTTATTATGTTATTGCTACGACAATTCAAGGTTATTTTTCCCAGATTATCCATA ${f G}{f G}{f G}{f G}{f G}{f C}{f T}{f C}{f C}{f C}{f G}{f C}{f G}{f A}{f C}{f C}{f G}{f G}{f C}{f G}{f C}{f G}{f C}{f C}{f C}{f A}{f T}{f T}{f C}{f C}{f$ GTCCAAGCAGCAAGAGTTGTATGGAACCGTCACCAACTCCATGATTCTGGTCAACATCCTGCAG<mark>G</mark>TACGTCCTCTGTTGGGACGGGACACGTGA ${\tt CGTAATCTACTGTCCCTGCTTCGGATTCAGGGCAGATCCTGTTTAAGGGAGTCATAGACTCCACTGGACAGGTAGTCTCACTCTGAGAGAAGGA$ ATATTATATTGGGTTTACTGGATTATTACTCTAGGTCAGGGGGTGTCAAACTCATTTTGGTTTTGGGGGGCCACATTTAATCCATCTGATCCCAAGT (2256bp deleted) ${f G}{f G}{f G}{f G}{f A}{f T}{f T}{f A}{f C}{f A}{f T}{f C}{f T}{f C}{f C}{f A}{f G}{f A}{f C}{f A}{f C}{f A}{f C}{f A}{f C}{f A}{f C}{f C}{f A}{f C}{f A}{f C}{f C}{f C}{f$ GGGGACTGCGTGTGGCTGCCATACCTGTACACGCTGCAGGTACGTGGACGCATCTCAGATGCTCCATAAGAGCCAAACACATAATCGTTTATCA GAAAGCGCTAAATGAATAGCTTTTAAACTCTATTTAAGGTTCAAACAGAACATTGCACCCGTGAGACCTTTGACTCACAGCTGGAATGATATCA GCACAATTTGGGGCCGCAAGCCGTCTTTCATCGAATGCTCGTACCGCTCCGCCGATGGCGGCTTGCACCGAAGCAAACTGCTGACGTCAGGCT TTCTACATCGTGTACATGACCATCCTGCTGGTCCACCGCTGTGTGCGTGACGAGCACCGCTGCAGCAGCAAGTACGGGAAGGACTGGAAGCGCT ACACAGACGCAGTTCCTTACCGACTGATTCCTGGAGTGTTT<mark>TAG</mark>AGAAAGAGGATGAACCAGTATTTAGTCTCCACCGGTTGCCTTTAAGAAGG GGTGCTTTAGACCTATGCAAACACAAACACATGCAAACACACATGCAAGAAATAACCCCAGTTCGCTTTACCAAACATTTTACTTGAGTACATCT ${\tt CATGTGTTTAAATAAACAGATCCAGAGGACCCTGTGGTCAAACTACATGACCAGAAGGCCCCTTCTTCTACCTCTTCCTAATACATTCGTCATGATC$ TATTAAAAGATACGTTCATCAGAAACCCGTTCAGAAATCTCAGTTGGTACCTGATGGGACGACTGTCCAGAACCGCTTGGACCAAAGCTCATGA

図 1 Medaka genome database における DHCR7 遺伝子候補

黒に白抜き文字が、genome database によって推定されているメダカ DHCR7の exon 候補で、8 カ所ある。 \underline{GT} は intron の始まり、 \underline{AG} は intron の終わりを示す。 \overline{TAG} は終始コドンを示す。ここで示す塩基配列は、メダカ第 3 染色体の、34524922 から 34533555 までの 8633bp を示す。

(a) Medaka genome database による推定 exon 2 候補の塩基配列:

(b) 本研究で Medaka genome database 推定 exon 2 候補中に見出した exon 1 候補の塩基配列〔(a)の下線部〕:

ATGGAGACCACTAGGAGGCGCGCAGCAGACGTCCAATGGGAAAGCCTCTGAGCACGCGCAGCAGTCAGCACGTGGGGGCAGAGCATG (89bp)

(c) 本研究で見出した exon 1 候補からの推定アミノ酸配列:

METTRRRAQQ TSNGKASEHA QQSAQWGRA (29residues)

(d) メダカ、ヒト、ゼブラフィッシュ間での exon 1アミノ酸配列の比較

MAA KSQPNIPKAK SLDGVTNDRT ASQG<mark>QWGRAW</mark> (*Hs*)

MMASDR VRKRHKGSAN GAQTVEKEPS KEPA $\overline{ ext{QWGRAW}}$ (Dr)

METTRRRAQQ TSNGKASEHA QQSAQWGRAW (Ol

図 2 メダカ DHCR7 exon 1 の推定

(a) 及び (b):Genome database での exon 1 及び exon 2 の塩基配列から,実際の exon 1 の始まりは,genome database exon 2 の途中の ATG [(b) の四角枠] を開始コドンとして始まっていると仮定する。(c) 及び (d): すると,ヒトとゼブラフィッシュの exon 1 に共通に見られる C 末端の QWGRAW(黒に白抜き文字)というアミノ酸配列がメダカの場合でも見られるようになる。ただしメダカでは exon 1 の C 末端の W のコドンが次の exon とで分断されているので,この場合は W を exon 1 に含めた。(d) で,Hs はヒト,Dr はゼブラフィッシュ,Ol はメダカを示す。

(a) ヒト Homo sapiens の exon1 と exon2 の間での遺伝暗号 TGG の分割

ATG GCT GCA AAA TCG CAA CCC AAC ATT CCC AAA GCC AAG AGT CTA GAT M A A K L Q P N I P K A K S L D GGC GTC ACC AAT GAC AGA ACC GCA TCT CAA GGG CAG TGG GGC CGT GCC G V T N D R T A S Q G Q W G R A TG W(1 $^{\rm st}$ &2 $^{\rm nd}$ letters)

GT(635bp deleted from intron) AG (intron 639bp)

G GAG GTG GAC TGG TTT TCA ---- W(3 $^{\rm rd}$ letter) E V D W F S -----

(b) ゼブラフィッシュ Danio rerioの exon1 と exon2 の間での遺伝暗号 TGG の分割

----AATC

ATG ATG GCA TCT GAC AGG GTG AGA AAG CGG CAT AAG GGC AGT GCC AAT M M A S D R V R K R H K G S A N GGT GCC CAG ACA GTG GAG AAG GAG CCA TCA AAG GAG CCG GCG CAG TGG G A Q T V E K E P S K E P A Q W GGA AGA GCA TG G R A W(1 $^{\rm st}$ &2 $^{\rm nd}$ letters) GT(169bp deleted from intron)AG (intron 173bp)

G GAG GTG GAT TGG TTC TCT ---W(3rd letter) E V D W F S ----

図 3 ヒトやゼブラフィッシュでもメダカと同様に exon1 の N 末端アミノ酸残基トリプトファン W の遺伝 暗号は exon2 との間で分割されている

塩基配列のうち、遺伝暗号は 3 文字ずつ示し、相当するアミノ酸残基は遺伝暗号の下に 1 文字記号で示している。各 intron 内の配列は一部数字で、各 exon の前後の配列は一部 - で示している。GT, AG は、GU-AG 則による intron の推定であることを示している。

表 1 メダカ DHCR7 各 exon の塩基配列と推定アミノ酸配列 前の exon との境目にあるコドンで指定されているアミノ酸残基は () で閉じて, 前の exon の最後に表示している。 * は終止コドン。

	塩基配列	推定アミノ酸配列				
exon1	ATGGAGACCACTAGGAGGCGCGCGCAGCAGACGTCCAATGGGAAAGCCTCTGA GCACGCGCAGCAGTCAGCACAGTGGGGCAGAGCATG (89 bp)	METTRRRAQQTSNGKA SEHAQQSAQWGRA(W) (30)				
intron	1620 bp					
exon2	GGAGGTGGACTGGTTCTCTCATCAGCGTGGTGGCTCTCCTCATCTTTGCTC CCTTCATCGTCTTTTACTTCGTGATGGCCTGTGACCAGTTCCAGTGCTCGTC AGCGAGCCTTTGCTGCAGCTTTATTACGGGGACGTGACGCTTCTCTCCATCTG GGCCCGGGCCCCCTCCTTCTCCTGGTCGGCGGCTAAGATATACGCCGTTTGGG TGGGCTTCCAG (223 bp)	EVDWFSLISVVALLIF APFIVFYFVMACDQFQ CSVSEPLLQLYYGDVT LLSIWARAPSFSWSAA KIYAVWVGFQ(74)				
intron	77 bp					
exon3	GTCTTCCTCTACCTGTGTGTCCCTGATGTCACCCACAAGTTTATTCCAGGGTA TGTTGGGGGGGTGCAGGATGGAGCACGAACTCCTGCAG (91 bp)	VFLYLCVPDVTHKFIP GYVGGVQDGARTPA(G)(31)				
intron	113 bp					
exon4	GTCTCATTAACAAGTATGAGATCAACGGGCTGCAGTGCTGGCTG	LINKYEINGLQCWLIT HALWFANARYFHWFSP TIIFDNWIPLMWCANL LGYAVSTFAFVKAYIF PTNPED(C)(71)				
intron	79 bp					
exon5	CAAGTTCACAGGAAATGTCTTCTACAACTACATGATGGGCATCGAGTTTAACC CGCGCATCGGCAAGTGGTTCGACTTCAAGCTTTTCTTCAACGGGCGACCCGGT ATTGTGGCCTGGACTCTAATCAATCTGTCCTACATGTCCAAGCAGCAAGAGTT GTATGGAACCGTCACCAACTCCATGATTCTGGTCAACATCCTGCAG (205 bp)	KFTGNVFYNYMMGIEF NPRIGKWFDFKLFFNG RPGIVAWTLINLSYMS KQQELYGTVTNSMILV NILQ(68)				
intron	1196 bp					
exon6	GGGATTTACGTGCTGGATTTCTTCTGGAATGAGGCGTGGTACCTGAAGACCAT CGACATCTGCCACGACCACTTCGGATGGTATCTGGGATGGGGGGACTGCGTGT GGCTGCCATACCTGTACACGCTGCAG (132 bp)	GIYVLDFFWNEAWYLK TIDICHDHFGWYLGWG DCVWLPYLYTLQ(44)				
intron	198 bp					
exon7	GGCCTGTACCTGGTTTACCACCCCGTCCAGCTCTCCGACGCCTCCGCCCTCGC AGTCCTGCTCGCCCTCGGGATATTACATATTCCGCTCCACCAACCA	GLYLVYHPVQLSDASA LAVLLLGLLGYYIFRS TNHQKDLFRRHDGSCT IWGRKPSFIECSYRSA DGGLHRSKLLTSGFWG VARHFNYTGDLMGSLA YCAACGLGHILPYFYI VYMTILLVHRCVRDEH RCSSKYGKDWKRYTDA VPYRLIPGVF* (154)				

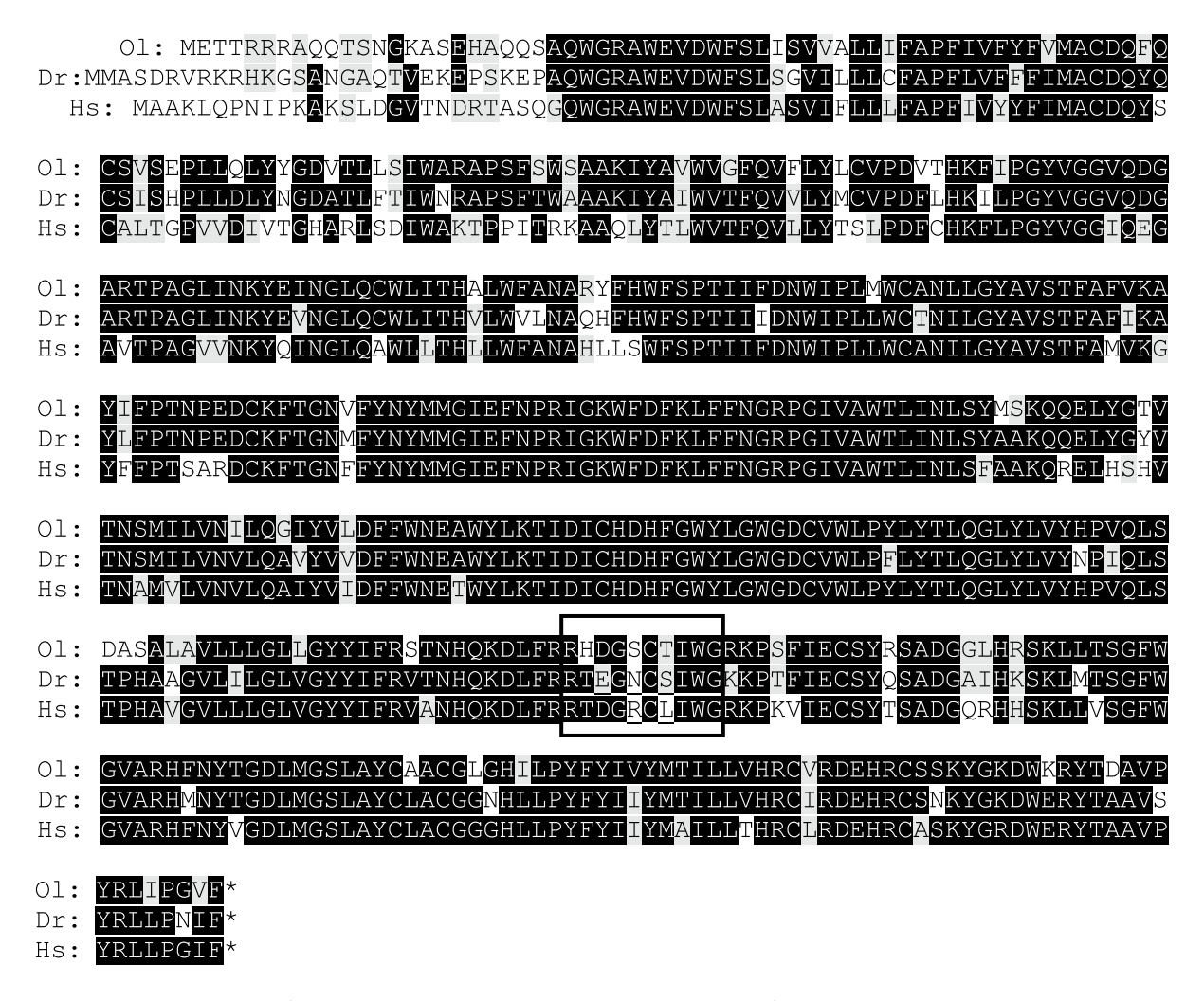


図 4 メダカ DHCR7 推定アミノ酸配列のヒトやゼブラフィッシュとの比較

Ol, Dr, Hs は略号で図2に同じ。黒に白抜き文字は、3種の生物のうち、2種以上で同じアミノ酸残基であることを示す。灰色に黒文字は、類似の性質を示すアミノ酸残基であることを示す。四角枠は、DHCR7遺伝子のコンセンサス配列である S-1 配列を示す。各アミノ酸配列は、National Center for Biotechnology Information の Accession number が、Hs が NM_001360、Dr が NM_201330 のデータから引用している。